

## Satellites artificiels

### Première partie Étude générale

1.1. Le Maroc a lancé son premier satellite artificiel en 2001. Nom : **Zarkae Elyamama** ; il est destiné au usage de la télécommunication.

1.2.

$$\mathcal{G}(r) = \frac{GM}{r^2} \text{ et } g_o = \frac{GM}{R_T^2} ; \text{ Soit : } \boxed{G(r) = g_o \frac{R_T^2}{r^2}}$$

1.3.

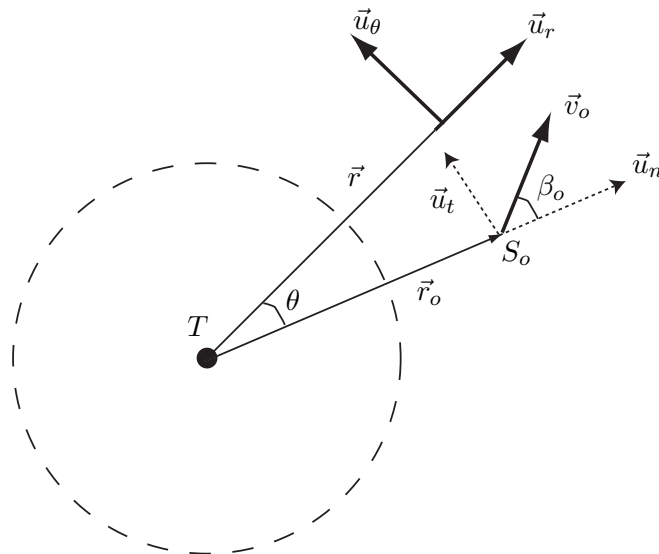
$$\alpha_o = \frac{r_o v_o^2}{g_o R_T^2} ; \quad \beta_o = (\vec{T}\vec{S}_o, \vec{v}_o) \quad \text{et} \quad \vec{f}_G = -mg_o \frac{R_T^2}{r^2} \vec{u}_r$$

1.3.1. Théorème du moment cinétique

$$\frac{d\vec{\sigma}_T}{dt} = \vec{M}_T(\vec{f}_G) = \vec{0} \implies \vec{\sigma} = \text{constante vectorielle}$$

Le mouvement du satellite est, donc, plan. Le plan du mouvement est le plan perpendiculaire, à chaque instant, au moment cinétique  $\vec{\sigma}_T$  qui est une constante vectorielle égale à sa valeur initiale ; soit :  $\vec{T}\vec{S}_o \wedge m\vec{v}_o$ . le plan du mouvement est le plan  $(\vec{T}\vec{S}_o, \vec{v}_o)$

1.3.2.



1.3.3. Moment cinétique du satellite

$$\vec{\sigma}_T = \vec{\sigma} = \vec{T}\vec{S}_o \wedge m\vec{v}_o = m\vec{r}_o \wedge \vec{v}_o \implies \vec{\sigma} = mr_o v_o \sin \beta_o \vec{u}_z \quad \text{ou} \quad \boxed{\sigma = mr_o v_o \sin \beta_o}$$

### 1.4. Le vecteur Hamilton $\vec{H}$

$$\vec{H} = m\vec{v} - \frac{K}{\sigma^2} \left( \vec{\sigma} \wedge \frac{\vec{r}}{r} \right) = m\vec{v} - \frac{K}{\sigma^2} (\vec{\sigma} \wedge \vec{u}_r)$$

$$\frac{d\vec{H}}{dt} = m\vec{a} - \frac{K}{\sigma^2} \left( \vec{\sigma} \wedge \frac{d\vec{u}_r}{dt} \right) = \vec{f}_G - \frac{K}{\sigma^2} \dot{\theta} (\vec{\sigma} \wedge \vec{u}_\theta)$$

$$\vec{f}_G = -mg_o \frac{R_T^2}{r^2} \vec{u}_r \quad \text{et} \quad \vec{\sigma} = \sigma \vec{u}_z = mr^2 \dot{\theta} \vec{u}_z \Rightarrow \boxed{\frac{d\vec{H}}{dt} = \left( -mg_o \frac{R_T^2}{r^2} - \frac{K}{mr^2} \right) \vec{u}_r}$$

$H$  reste constante au cours du mouvement si et seulement si :  $\boxed{K = m^2 g_o R_T^2}$

### 1.5. Hodographe $H$

#### 1.5.1.

$$\vec{OA} = \vec{v} = \frac{\vec{H}}{m} + \frac{K}{m\sigma^2} (\vec{\sigma} \wedge \vec{u}_r) \Rightarrow \boxed{\vec{OA} = \frac{\vec{H}}{m} + \frac{g_o R_T^2}{r_o v_o \sin \beta_o} \vec{u}_\theta}$$

$\vec{H}$  étant constante du mouvement :  $\vec{H} = \vec{H}(t=0)$ ; soit :

$$\vec{H} = m\vec{v}_o - \frac{K}{\sigma} \vec{u}_t = m\vec{v}_o - \frac{mg_o R_T^2}{r_o v_o \sin \beta_o} \vec{u}_t = m v_o \cos \beta_o \vec{u}_n + m \left( v_o \sin \beta_o - \frac{g_o R_T^2}{r_o v_o \sin \beta_o} \right) \vec{u}_t$$

$$\vec{v} = \frac{\vec{H}}{m} + \frac{g_o R_T^2}{r_o v_o \sin \beta_o} \vec{u}_\theta \quad \text{avec} \quad \vec{u}_\theta = -\sin \theta \vec{u}_n + \cos \theta \vec{u}_t$$

$$\text{Soit : } \vec{v} \begin{pmatrix} v_o \sin \beta_o - \frac{g_o R_T^2}{r_o v_o \sin \beta_o} (1 - \cos \theta) \\ v_o \cos \beta_o - \frac{g_o R_T^2}{r_o v_o \sin \beta_o} \sin \theta \end{pmatrix}_{(\vec{u}_t, \vec{u}_n)} = v_t \vec{u}_t + v_n \vec{u}_n$$

$$\Rightarrow \left( v_t - v_o \sin \beta_o + \frac{g_o R_T^2}{r_o v_o \sin \beta_o} \right)^2 + (v_n - v_o \cos \beta_o)^2 = \left( \frac{g_o R_T^2}{r_o v_o \sin \beta_o} \right)^2$$

L'hodographe  $H$  est, donc, un cercle dans le plan  $(\vec{u}_t, \vec{u}_n)$  :

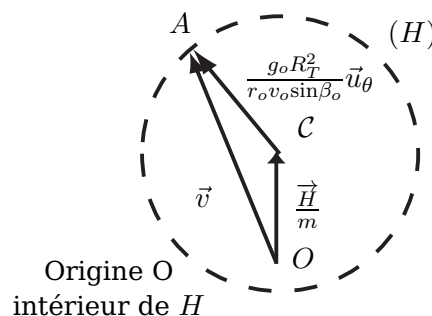
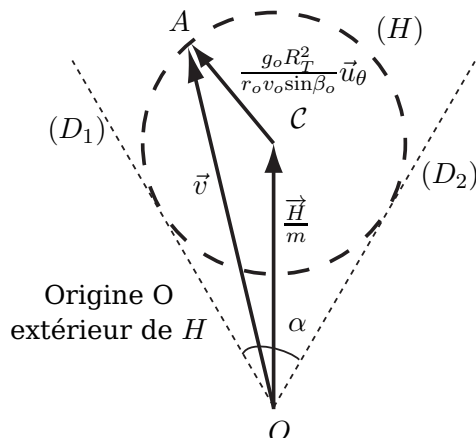
- de centre :

$$\mathcal{C} \left( v_o \sin \beta_o - \frac{g_o R_T^2}{r_o v_o \sin \beta_o}, v_o \sin \beta_o \right)$$

- de rayon :

$$\mathcal{R} = \frac{g_o R_T^2}{r_o v_o \sin \beta_o}$$

#### 1.5.2. Directions permises pour $\vec{v}$



1.5.3.	Origine $O$	A l'intérieur de $H$	A l'extérieur de $H$
	Direction permise	Toutes les directions	Celles délimitées par $(D_1)$ et $(D_2)$
	Type de trajectoire	elliptique ou circulaire	hyperbolique ou parabolique

1.5.4.

$$\begin{cases} \vec{H} = m\vec{v}_o - \frac{K}{mr^2}\vec{u}_t \\ \vec{v}_o = v_o \cos \beta_o \vec{u}_n + v_o \sin \beta_o \vec{u}_t \\ K = m^2 g_o R_T^2 \end{cases} \Rightarrow \vec{H} = m v_o \cos \beta_o \vec{u}_n + m \left( v_o \sin \beta_o - \frac{g_o R_T^2}{r_o v_o \sin \beta_o} \right) \vec{u}_t$$

$$\text{avec } \vec{u}_t = \sin \theta \vec{u}_r + \cos \theta \vec{u}_\theta = \vec{u}_\theta(t=0) \quad \text{et} \quad \vec{u}_n = \cos \theta \vec{u}_r - \sin \theta \vec{u}_\theta = \vec{u}_r(t=0)$$

Dans le cas d'un mouvement circulaire :

$$\beta_o = \frac{\pi}{2} \quad \text{et} \quad v_o^2 = \frac{g_o R_T^2}{r_o} \quad \text{D'où :} \quad \boxed{\vec{H} = m \left( v_o - \frac{g_o R_T^2}{r_o v_o} \right) \vec{u}_t = \vec{0}}$$

1.6.

$$\vec{\varepsilon} = \frac{1}{K} \vec{H} \wedge \vec{\sigma} = \frac{\vec{H} \wedge \vec{\sigma}}{m^2 g_o R_T^2}$$

1.6.1.  $\vec{H}$  et  $\vec{\sigma}$  sont deux constantes vectorielles, donc :  $\vec{\varepsilon}$  est aussi constante du mouvement.  
 $\vec{\varepsilon} \in$  au plan formé par  $\vec{H}$  et  $\vec{\sigma} \Rightarrow \boxed{\vec{\varepsilon} \in \text{au plan polaire } (\vec{u}_r, \vec{u}_\theta)}$ .

1.6.2.

$$\vec{r} \cdot \vec{\varepsilon} = \frac{r}{m^2 g_o R_T^2} \vec{u}_r \cdot (\vec{H} \wedge \vec{\sigma}) \quad \text{avec :} \quad \vec{H} \wedge \vec{\sigma} = \left( \frac{\sigma^2}{r} - m^2 g_o R_T^2 \right) \vec{u}_r - m \sigma \dot{r} \vec{u}_\theta$$

$$\text{Soit : } \vec{r} \cdot \vec{\varepsilon} = \left( \frac{\sigma^2}{r} - m^2 g_o R_T^2 \right) \frac{r}{m^2 g_o R_T^2} = r \|\vec{\varepsilon}\| \cos(\theta - \theta_o) \quad \text{ou} \quad \boxed{r = \frac{p}{1 + e \cos(\theta - \theta_o)}}$$

$$\boxed{e = \|\vec{\varepsilon}\| \quad \text{et} \quad p = \frac{\sigma^2}{K} = \frac{\sigma^2}{m^2 g_o R_T^2} = \alpha_o r_o \sin^2 \beta_o}$$

$\theta_o$  est l'angle qui positionne l'axe de la conique par rapport à l'axe polaire.

1.6.3.

$$\vec{\varepsilon} = \left( -1 + \frac{\sigma^2}{rK} \right) \vec{u}_r - m \frac{\sigma}{K} \dot{r} \vec{u}_\theta = \vec{\varepsilon}(t=0) = \left( -1 + \frac{\sigma^2}{r_o K} \right) \vec{u}_{r_o} - m \frac{\sigma}{K} \dot{r}_o \vec{u}_{\theta_o}$$

$$\dot{r}_o = v_o \cos \beta_o \Rightarrow \vec{\varepsilon} = \left( -1 + \frac{\sigma^2}{r_o K} \right) \vec{u}_{r_o} - m \frac{\sigma}{K} v_o \cos \beta_o \vec{u}_{\theta_o}$$

$$\Rightarrow e^2 = \|\vec{\varepsilon}\|^2 = \left( \frac{\sigma}{K} \right)^2 \left( m^2 v_o^2 \cos^2 \beta_o + \left( -\frac{K}{\sigma} + \frac{\sigma}{r_o} \right)^2 \right)$$

$$= \left( \frac{\sigma}{K} \right)^2 \left( m^2 v_o^2 \cos^2 \beta_o + \left( -\frac{K}{\sigma} + m v_o \sin \beta_o \right)^2 \right)$$

$$= \left( \frac{\sigma}{K} \right)^2 \left( m^2 v_o^2 + \left( \frac{K}{\sigma} \right)^2 - 2 \frac{K}{r_o} \right)$$

$$= 1 + m^2 v_o^2 \frac{\sigma^2}{K^2} - \frac{2\sigma}{K r_o}$$

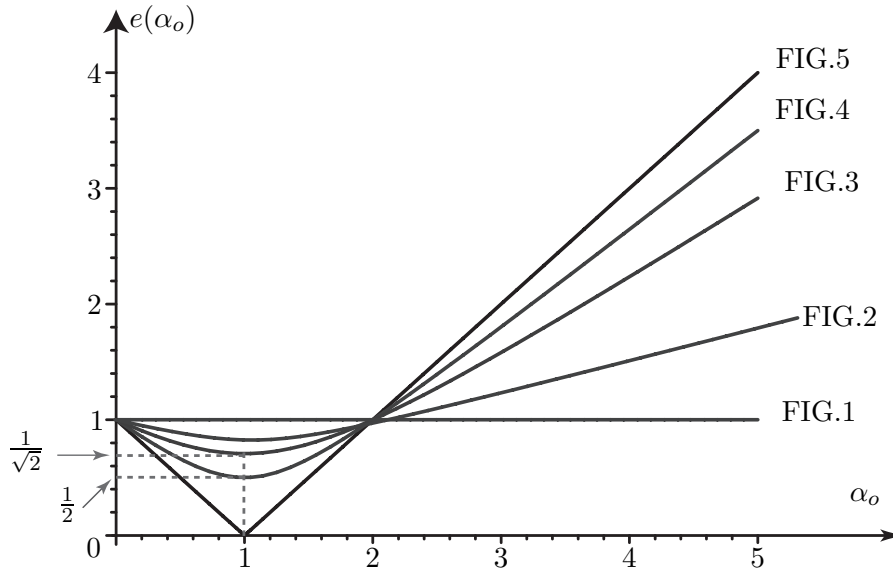
$$= 1 - 2\alpha_o \sin^2 \beta_o + \alpha_o^2 \sin^2 \beta_o$$

$$\text{ou} \quad \boxed{e^2 = 1 + \alpha_o (\alpha_o - 2) \sin^2 \beta_o}$$

## 1.7. Nature de la trajectoire

### 1.7.1. Tableau des résultats :

$\beta_o$	$e(\alpha_o)$	Allure du graphe
0	1	FIG.1
$\pi/6$	$\frac{1}{2}\sqrt{\alpha_o^2 - 2\alpha_o + 4}$	FIG.2
$\pi/4$	$\sqrt{1 + \frac{\alpha_o}{2}(\alpha_o - 2)}$	FIG.3
$\pi/3$	$\sqrt{1 + 3\frac{\alpha_o}{4}(\alpha_o - 2)}$	FIG.4
$\pi/2$	$ \alpha_o - 1 $	FIG.5



### 1.7.2.

$e$	$e = 0$ et $\beta_o = \pi/2$	$0 < e < 1$	$e = 1$	$e > 1$
Nature de la trajectoire	Cercle	Ellipse	Parabole	Hyperbole
$\alpha_o$	$\alpha_o = 1$	$\alpha_o < 2$	$\alpha_o = 2$	$\alpha_o > 2$

La vitesse de libération  $v_{lib}$  correspond à l'état libre (ou de diffusion) où le mouvement est révolutif,  $\Rightarrow$  Trajectoire hyperbolique  $e = 1$ , ou  $\alpha_o = 2$ ; soit :

$$\alpha_o = \frac{r_o v_{lib}^2}{g_o R_T^2} = 2 \Rightarrow v_{lib} = \sqrt{\frac{2g_o R_T^2}{r_o}} = R_T \sqrt{\frac{2g_o}{z_o + R_T}}$$

### 1.7.3. La trajectoire est circulaire pour $e = 0$ , soit :

$$\alpha_o(\alpha_o - 2) \sin^2 \beta_o + 1 = 0 \text{ et } \beta_o = \frac{\pi}{2}$$

Vitesse  $v_s$  du satellite sur son orbite circulaire :

$$\alpha_o(\alpha_o - 2) + 1 = 0 \Rightarrow \alpha_o = 1 = \frac{r_o v_s^2}{g_o R_T^2} \text{ ou } v_s = R_T \sqrt{\frac{g_o}{r_o}} = R_T \sqrt{\frac{g_o}{z_o + R_T}}$$

## 1.8. On considère le cas : $\alpha_o = 1$ et $0 < \beta_o < \pi/2$ .

**1.8.1.** Dans ces conditions :  $e = 1 - \sin^2 \beta_o$  et on a  $0 < \beta_o < \pi/2$ , d'où  $0 < e < 1$  : La trajectoire est, donc, elliptique.

### 1.8.2. Expression de $\theta_o$ en fonction de $\alpha_o$

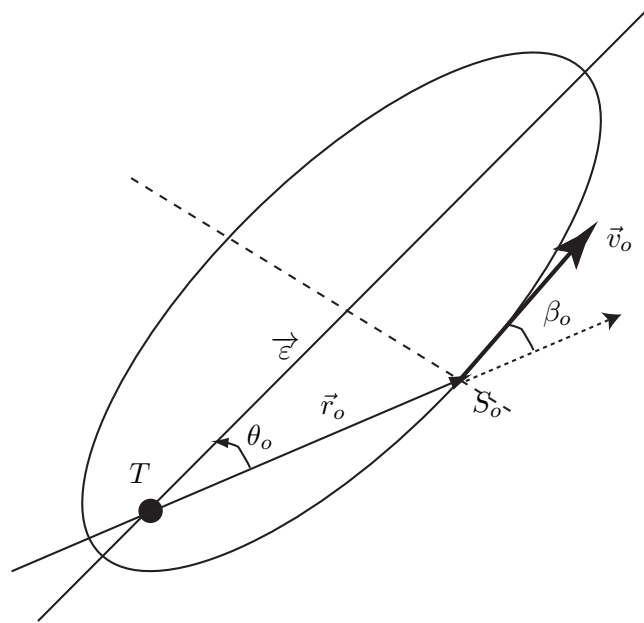
$$\alpha_o = 1 \Rightarrow e^2 = \cos^2 \beta_o \text{ et } e \cos \theta_o = \frac{p}{r_o} - 1 = -\cos^2 \beta_o$$

$$\Rightarrow \cos \theta_o = -\cos \beta_o \quad \text{ou} \quad \boxed{\theta_o = \beta_o + \pi}$$

**1.8.3.**  $\theta_o$  est, aussi, l'angle entre  $\vec{\epsilon}$  et  $\overrightarrow{TS_o}$  :  $\vec{\epsilon}$  coïncide, donc, avec le grand axe, dont les positions particulières sont telles que :

- ◇  $\theta = \theta_o = \beta_o + \pi$  : la position du périégée. et
- ◇  $\theta = \theta_o + \pi = \beta_o + 2\pi$  : la position de l'apogée.

Conséquence : le vecteur vitesse  $\vec{v}_o$  est colinéaire au vecteur excentricité  $\vec{\epsilon}$  et la position  $S_o$  appartient, donc, au petit axe.



## Deuxième partie Satellites circulaires

### 2.1. Satellites en orbite basse

#### 2.1.1. Théorème de la résultante cinétique

$$\vec{f}_G = -mg_o \frac{R_T^2}{R^2} \vec{u}_r = m\vec{a} = -m \frac{v^2}{R} \vec{u}_r + \frac{dv}{dt} \vec{u}_\theta \Rightarrow m \frac{v^2}{R} = mg_o \frac{R_T^2}{R^2} \quad \text{ou} \quad \boxed{v = R_T \sqrt{\frac{g_o}{R}}}$$

#### 2.1.2. Période $T$ de révolution du mouvement du satellite et troisième loi de Kepler

$$\boxed{T = 2\pi \frac{R}{v} = \frac{2\pi}{R_T} \sqrt{\frac{R^3}{g_o}} \quad \Rightarrow \quad \frac{T^2}{R^3} = \frac{4\pi^2}{g_o R_T^2}}$$

#### 2.1.3. Le satellite polaire est tel que l'axe polaire N-S se trouve dans son plan de trajectoire

Il n'y a pas de restriction sur le plan de la trajectoire et sur le sens de rotation car la force gravitationnelle est à symétrie sphérique !!

## 2.2. Satellites géostationnaires

2.2.1. De tels satellites envoient des informations, auxquelles ils sont destinés, sans déphasage temporel.

Applications : Observation et détection : des séismes , des volcans et des incendies ; télécommunication...

2.2.2.

$$\frac{T_o^2}{(z_G + R_T)^3} = \frac{4\pi^2}{g_o R_T^2} \Rightarrow \boxed{z_G = -R_T + \sqrt[3]{\frac{g_o R_T^2 T_o^2}{4\pi^2}}}$$

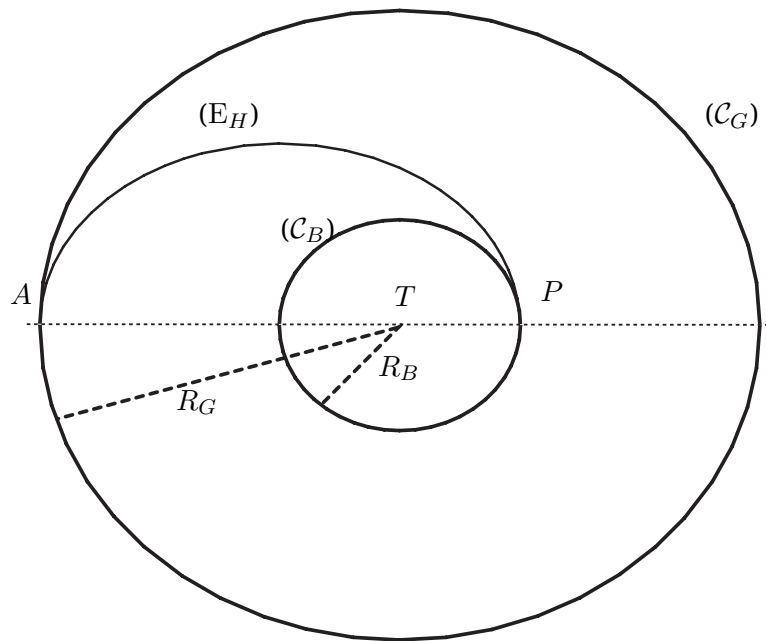
2.2.3. Application numérique :

$$\boxed{z_G \approx 35774 \text{ km}}$$

2.2.4. Le plan de la trajectoire est le plan équatorial et le satellite tourne dans le même sens que la rotation de la Terre dans le repère géocentrique .

## 2.3. Transfert d'orbite

2.3.1. Les trois trajectoires sont coplanaires (appartiennent au même plan).



2.3.2.

◇ Conservation du moment cinétique sur  $E_H$  :

$$\sigma_A = \sigma_P \Rightarrow v_A R_G = v_P R_B$$

◇ Conservation de l'énergie sur  $E_H$  :

$$\mathcal{E}_P = \mathcal{E}_A \Rightarrow \frac{1}{2} m v_P^2 - m g_o \frac{R_T^2}{R_B} = \frac{1}{2} m v_A^2 - m g_o \frac{R_T^2}{R_G}$$

◇ Combinaison des deux équations de conservation donne :

$$v_P^2 - v_A^2 = 2g_o R_T^2 \left( \frac{1}{R_B} - \frac{1}{R_G} \right) \Rightarrow \boxed{\begin{cases} v_P = R_T \sqrt{\frac{2g_o R_G}{R_B (R_B + R_G)}} \\ v_A = R_T \sqrt{\frac{2g_o R_B}{R_G (R_B + R_G)}} \end{cases}}$$

### 2.3.3. Variations de vitesses de transfert

$$\Delta v_1 = v_P - R_T \sqrt{\frac{g_o}{R_B}} \quad \text{et} \quad \Delta v_2 = -v_A + R_T \sqrt{\frac{g_o}{R_G}}$$

### 2.3.4. Durée de la phase de transfert sur l'ellipse de Hohmann

Soit  $T_H$  la période de révolution elliptique  $E_H$  et soit  $a_H$  le demi-grand axe de l'ellipse  $E_H$ ,  $2a_H = R_G + R_B$

$$\Delta t = \frac{T_H}{2} \quad \text{avec} \quad \frac{T_H^2}{a_H^3} = \frac{4\pi^2}{g_o R_T^2} \quad \text{donc :} \quad \Delta t = \frac{\pi}{2R_T} \sqrt{\frac{(R_G + R_B)^3}{2g_o}}$$

### 2.3.5. Soit $c_H$ la position du foyer de l'ellipse $E_H$ par rapport à son centre

$$e_H = \frac{c_H}{a_H} \quad \text{tels que :} \quad \begin{cases} a_H = \frac{R_B + R_G}{2} \\ c_H = a_H - R_B = \frac{R_G - R_B}{2} \end{cases} \Rightarrow e_H = \frac{R_G - R_B}{R_B + R_G}$$

## Troisième partie

### Influence de l'atmosphère terrestre

### 3.1. Modèle de force de frottement

#### 3.1.1. Variation de la quantité du mouvement

On considère le système (molécule - satellite). La quantité du mouvement du système est :

$$\diamond \text{ Avant le choc : } m\vec{v}_{\text{satellite}} + m'\vec{v}_{\text{molécule}} = m\vec{v} + m'\vec{0} = m\vec{v}$$

$$\diamond \text{ Après le choc : } (m + m')\vec{v}_{\text{syst}} \quad \text{choc mou, et } \vec{v}_{\text{syst}} : \text{ vitesse du système après le choc}$$

La quantité du mouvement du satellite subit une variation :

$$\Delta \vec{p} = p_{\text{après}} - p_{\text{avant}} = m\vec{v}_{\text{syst}} - m\vec{v} = m(\vec{v}_{\text{syst}} - \vec{v}) = m\left(\frac{m}{m + m'} - 1\right)\vec{v}$$

$$\text{Soit : } \Delta \vec{p} = -\frac{mm'}{m + m'}\vec{v} \quad \text{ou :} \quad \boxed{\Delta \vec{p} \approx -m'\vec{v}} \quad \text{car } m \gg m'$$

#### 3.1.2. La variation de la quantité du mouvement du satellite pendant $dt$ :

$$\diamond \text{ Au cours du choc entre une molécule de masse } m' \text{ et le satellite : } d\vec{p}_{\text{molécule}} \approx m'\vec{v}$$

$$\diamond \text{ Au cours du choc entre l'atmosphère de masse } m' \text{ et le satellite supposé sphérique :}$$

$$d\vec{p}_{\text{atm}} \approx \sum m'\vec{v} = m_{\text{atm}}\vec{v} = \mu(z)d\tau\vec{v} = \mu(z)\Sigma v dt \vec{v}$$

La force subit par le satellite de la part de l'atmosphère s'exprime par :

$$\vec{F} = \frac{d\vec{p}_{\text{atm}}}{dt} = -\mu(z)\Sigma v \vec{v}$$

$$\text{ou } \vec{F} = -k(z)v\vec{v} \quad \text{avec} \quad k(z) = \mu(z)\Sigma$$

**3.1.3.** Modèle d'atmosphère isotherme Équation de l'hydrostatique dans le champ de pesanteur :

$$\mu(z)\vec{g} = \overrightarrow{\text{grad}} p \Rightarrow -\mu(z)g = \frac{dp(z)}{dz}$$

Dans le cadre de l'approximation :  $z \ll R_T$  :  $g \approx g_o$ , donc :

$$-\mu(z)g_o = \frac{dp(z)}{dz} \quad \text{avec :} \quad p(z) = \frac{\mu(z)}{M}RT \Rightarrow \frac{d\mu(z)}{dz} = -\frac{Mg_o}{RT}\mu(z)$$

$$\Rightarrow \mu(z) = \mu_o \exp\left(-\frac{z}{H}\right) \quad \text{avec} \quad H = \frac{RT}{Mg_o}$$

$\mu_o$  : masse volumique de l'air atmosphérique au voisinage de la surface de la Terre.

### 3.2. Freinage du satellite

**3.2.1.** Trajectoire circulaire du satellite dans le champ gravitationnel (*champ Newtonnien*)  
Le théorème de la résultante cinétique :  $\vec{f}_g = m\vec{a}$

$$\Rightarrow m g_o \frac{R_T^2}{R^2} = m \frac{v^2}{R} \Rightarrow v^2 = \frac{g_o R_T^2}{R_T + z} \quad \text{ou} \quad 2v dv = -g_o \frac{R_T^2}{(R_T + z)^2} dz$$

$$\text{Soit :} \quad \frac{dv}{dz} = -\frac{R_T}{2(R_T + z)} \sqrt{\frac{g_o}{R_T + z}}$$

**3.2.2.** L'énergie mécanique du satellite :

$$E_m = E_c + E_p \quad \text{avec} \quad \begin{cases} E_p = -mg_o \frac{R_T^2}{R} \\ E_c = \frac{1}{2}mv^2 = mg_o \frac{R_T^2}{R} \end{cases} \Rightarrow E_m = -\frac{E_p}{2} = -E_c$$

Au cours de la chute du satellite, son énergie potentielle diminue (perd de l'altitude) et, donc, son énergie cinétique augmente ; par conséquent : sa vitesse *augmente* !!

**3.2.3.** Variation de l'énergie mécanique

$$E_m = -\frac{1}{2}E_p = mg_o \frac{R_T^2}{R} \Rightarrow \frac{dE_m}{dz} = \frac{mg_o R_T^2}{2(R_T + z)^2} = \frac{mg_o R_T^2}{2R^2}$$

**3.2.4.** Travail des forces de frottement

$$\delta W(\vec{F}) = \vec{F} \cdot d\vec{r} = -k(z)v\vec{v} \cdot \vec{v} dt = -k(z)v^3 dt, \quad \text{ou} \quad \delta W(\vec{F}) = -\mu(z)\Sigma v^3 dt$$

**3.2.5.** Théorème de l'énergie mécanique

$$\frac{dE_m}{dt} = P(\vec{F}) = \frac{\delta W(\vec{F})}{dt} \Rightarrow mg_o \frac{R_T^2}{2R^2} \frac{dz}{dt} = -\mu(z)\Sigma v^3 \Rightarrow \frac{dz}{dt} = -\mu(z)\Sigma v^3 \frac{2R^2}{mg_o R_T^2}$$

$$\frac{dz}{dt} = -\frac{2}{m}\mu(z)\Sigma v R \quad \text{ou} \quad \frac{dz}{dt} = -B\mu(z)v R \quad \text{avec} \quad B = 2\frac{\Sigma}{m}$$



### 3.2.6. D'après les résultats précédents

$$\frac{dz(t)}{dt} = -B\mu(z)vR = -2\frac{\Sigma}{m}R_T\sqrt{\frac{g_o}{R}}\mu_oRe^{-\frac{z(t)}{H}}$$

Dans l'approximation  $z \ll R_T$  :  $R = z(t) + R_T \approx R_T \Rightarrow \frac{dz(t)}{dt} = -2\frac{\Sigma}{m}R_T\sqrt{R_Tg_o\mu_o}e^{-\frac{z(t)}{H}}$

$$\Rightarrow e^{\frac{z(t)}{H}} = -\frac{t}{\tau} + \frac{C_o}{H} \Rightarrow \boxed{z(t) = H \ln \left( \frac{C_o}{H} - \frac{t}{\tau} \right)} \quad \text{tel que : } C_o = e^{\frac{z(0)}{H}}$$

Avec :  $\tau = \frac{mH}{2\Sigma R_T\sqrt{R_Tg_o\mu_o}}$  : terme homogène à un temps.

### 3.2.7. Application numérique :

$$\tau = 6,45 \times 10^{-6} \text{ s}$$

La durée  $t_{\text{chute}}$  du chute d'un satellite, depuis l'altitude  $h$ , est telle que :  $z(t_{\text{chute}}) = 0$

$$\Rightarrow e^{\frac{z(t_{\text{chute}})}{H}} = \frac{t_{\text{chute}}}{\tau} = e^{\frac{h}{H}} \quad \text{Soit : } \boxed{t_{\text{chute}} = \tau e^{\frac{h}{H}} = 6,4 \cdot 10^7 \text{ s}}$$

### 3.2.8.

Vitesse d'agitation thermique est :  $v_{\text{th}} = 0,5 \text{ km s}^{-1}$

Dans l'approximation  $z \ll R_T$ , la vitesse du satellite est :  $v_{\text{sat}} \approx \sqrt{g_o R_T} = 7,75 \text{ km s}^{-1}$

$$\Rightarrow v_{\text{th}} \ll v_{\text{sat}}$$